

# Vorlesung 8

---

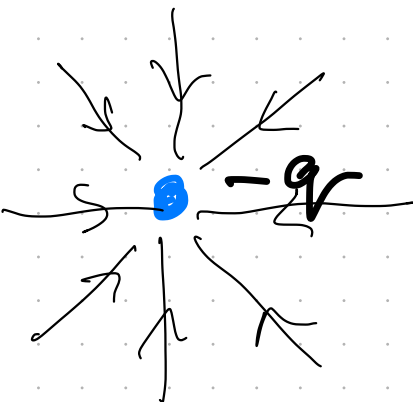
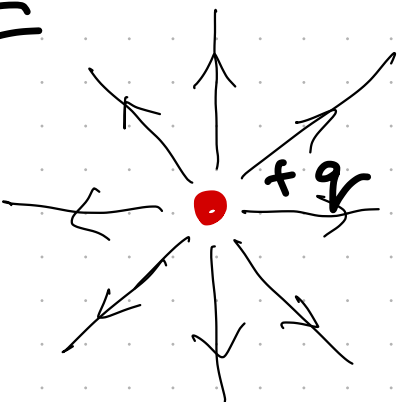
Physik II  
A. Ustinov

SS 2020 /

# Elektrische vs magnetische Feld

## Elemente (Bausteine)

$\vec{F}$



$\pm$  Ladungen



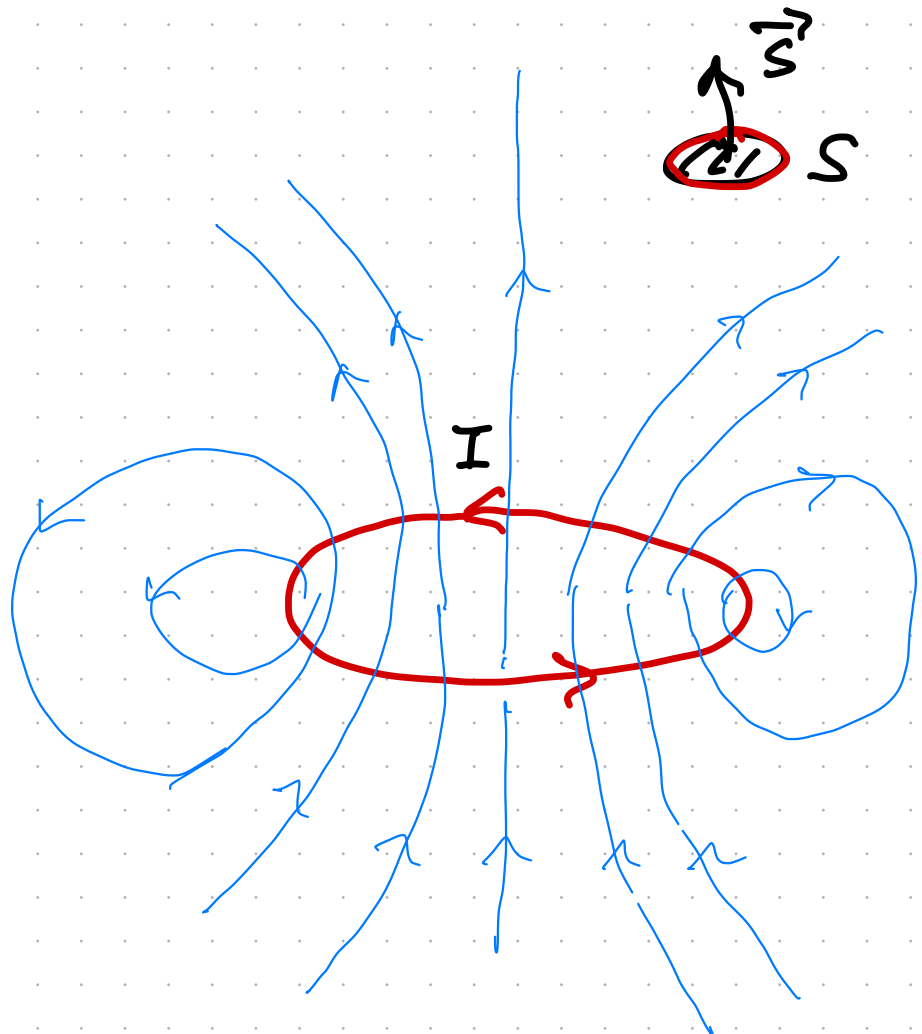
el. Dipol

$\vec{B}$

magnet.  
! keine  $\nabla$  Ladungen  
(reine Monopole)



Feldlinien  
 $\vec{B}$  enden  
auf sich  
oder  
 $\infty$ .



Atome, Moleküle

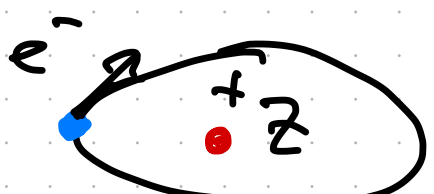
magnetische Dipolmomente

$$\vec{P}_m = I \vec{S} ; | \vec{S} | = \pi R^2$$

$$\vec{B} = \frac{3(\vec{P}_m \cdot \vec{r}) \vec{r}}{r^5} - \frac{\vec{P}_m}{r^3} ;$$

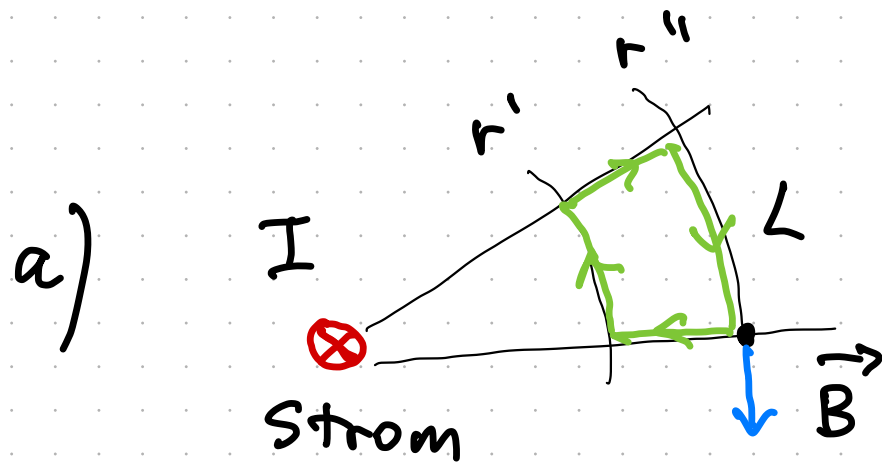
wie elektrische Dipolmomente

$$\vec{E} = \frac{3(\vec{P} \cdot \vec{r}) \vec{r}}{r^5} - \frac{\vec{P}}{r^3} ;$$

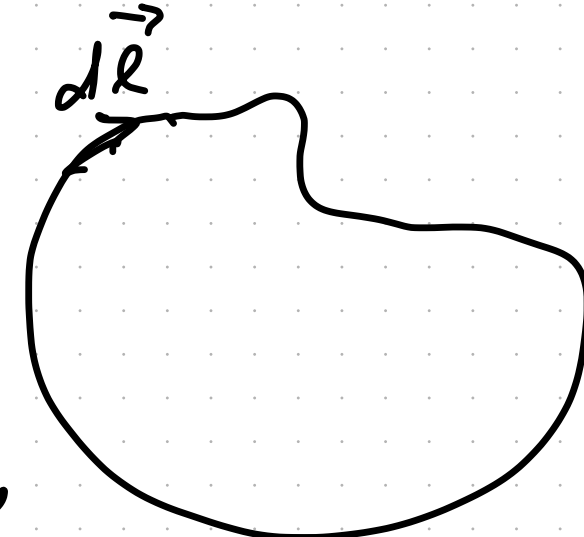


↳ Orbitalmoment, Spin

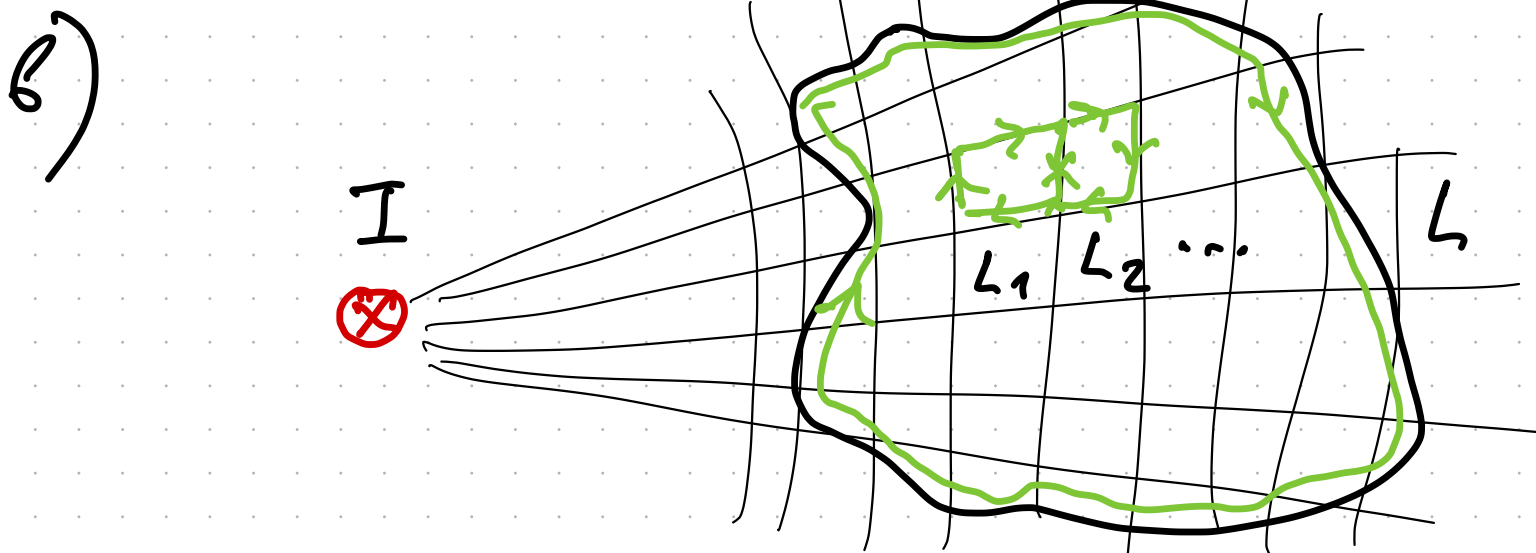
# Zirkulation :



$$\oint_L (\vec{B} d\vec{e}) = ?$$

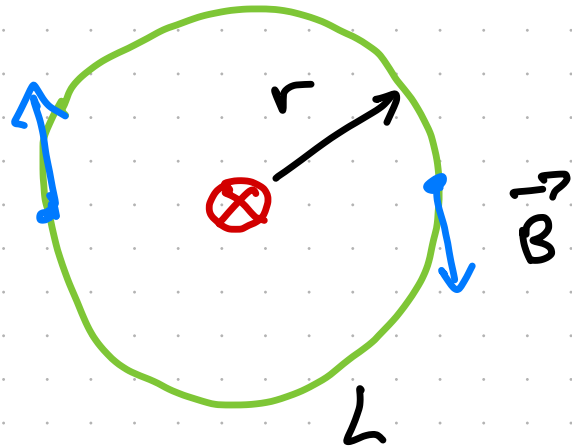


$$B'' \sim \frac{1}{r''}; \quad B' \sim \frac{1}{r'}; \Rightarrow \oint_L (\vec{B} d\vec{e}) = 0$$



$$\begin{aligned} \oint_L (\vec{B} d\vec{e}) &= \\ &= \sum_i \int_{L_i} (\vec{B} d\vec{e}) \\ &= 0, \quad L_i \end{aligned}$$

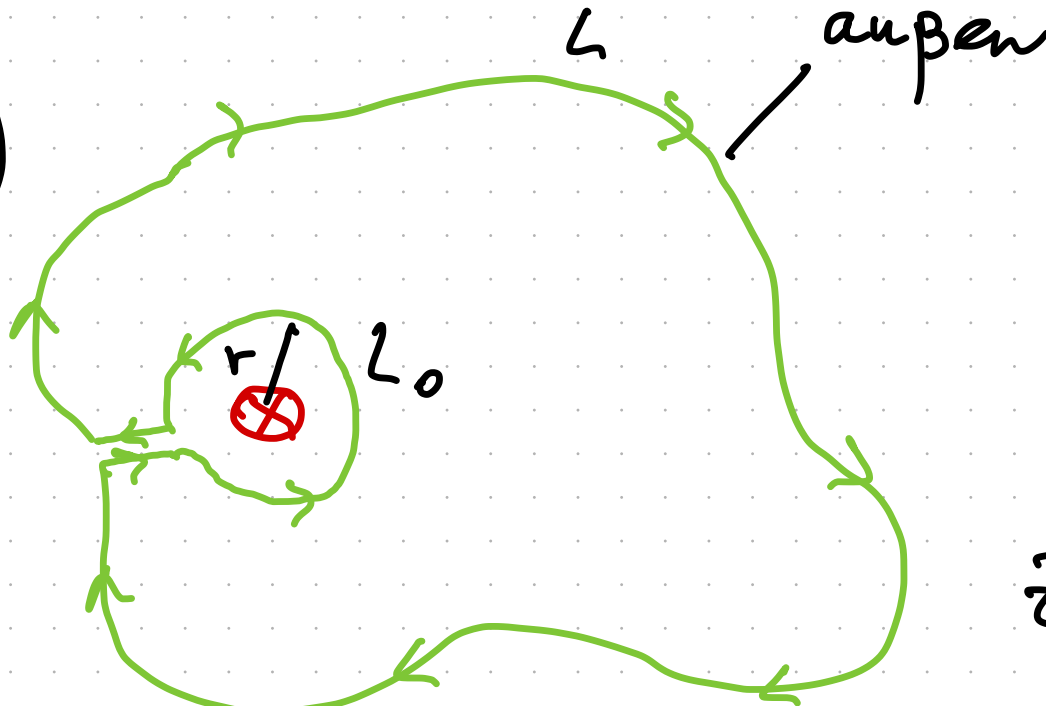
c)



$$\oint_L (\vec{B} d\vec{\ell}) = 2\pi r \frac{2I}{cr} = \frac{4\pi I}{c};$$

! NB

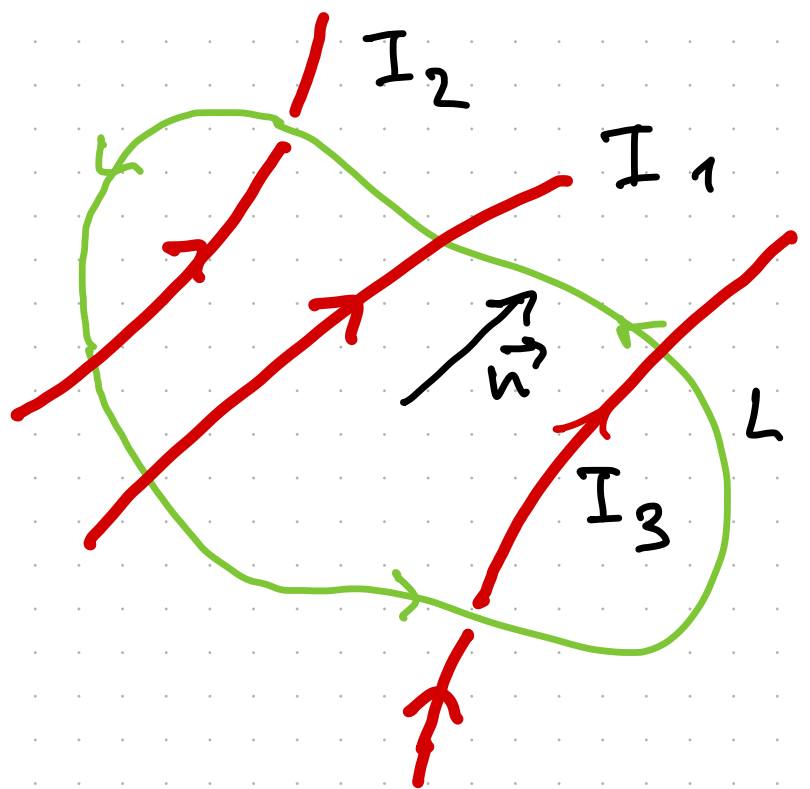
d)



$$\oint_L \vec{B} d\vec{\ell} = \underbrace{\oint_L \vec{B} d\vec{\ell}}_{L_0} + \underbrace{\oint_{L_0} \vec{B} d\vec{\ell}}_{L_0 S} + \underbrace{\oint_{L_0 S} \vec{B} d\vec{\ell}}_{L_0 Q} = 0 \text{ (außen)}$$

Zirkulation!

$$\oint_L (\vec{B} d\vec{\ell}) = \frac{4\pi I}{c};$$



$$\oint (\vec{B} \cdot d\vec{e}) = \frac{4\pi}{c} (I_2 - I_3)$$

Rechtschraube-Regel



## Elektro- und Magnetostatik

$$\oint_s (\vec{E} \cdot d\vec{s}) = 4\pi q$$

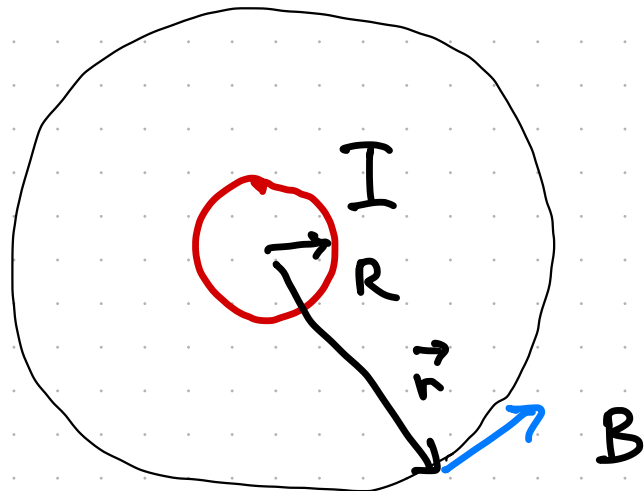
$$\oint_s (\vec{E} \cdot d\vec{e}) = 0$$

$$\oint_s (\vec{B} \cdot d\vec{s}) = 0$$

$$\oint_L (\vec{B} \cdot d\vec{e}) = \frac{4\pi}{c} I$$

# Beispiele für Zirkulationsatz:

a) Hohlröhr mit Strom

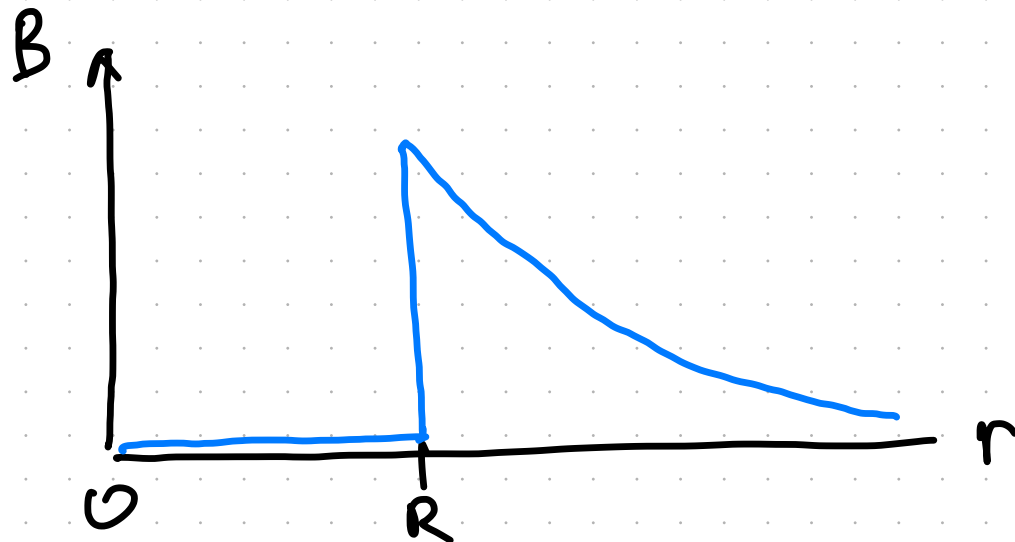


$$r > R ;$$

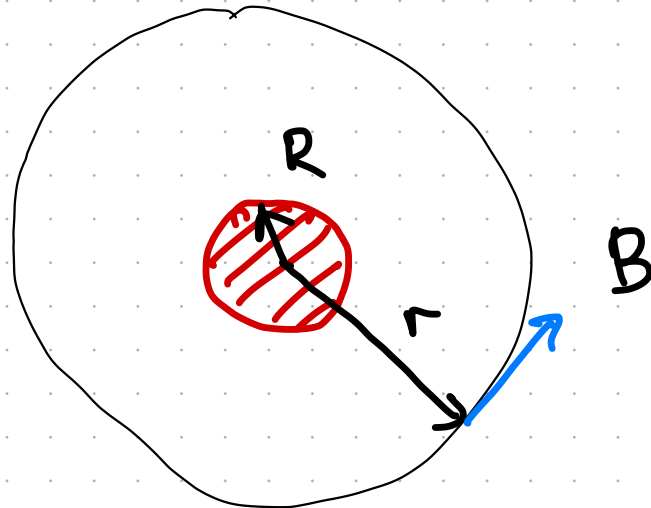
$$2\pi r B = \frac{4\pi}{c} I ; \quad B = \frac{2I}{cr} ;$$

$$r < R ;$$

$$2\pi r B = 0 , \Rightarrow B = 0$$



# b) Stab mit Strom

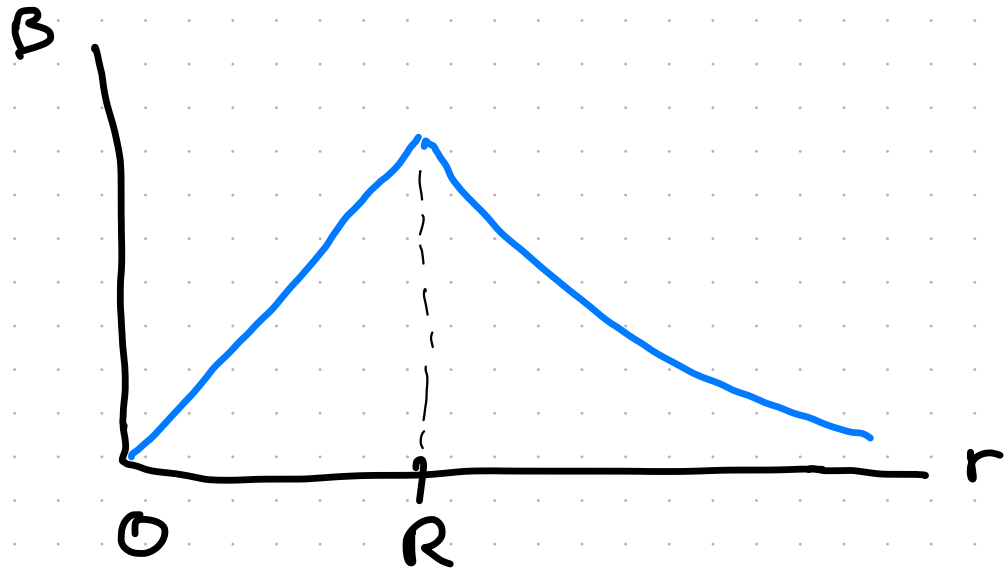


$$r \geq R, \Rightarrow B = \frac{2}{c} \frac{I}{r};$$

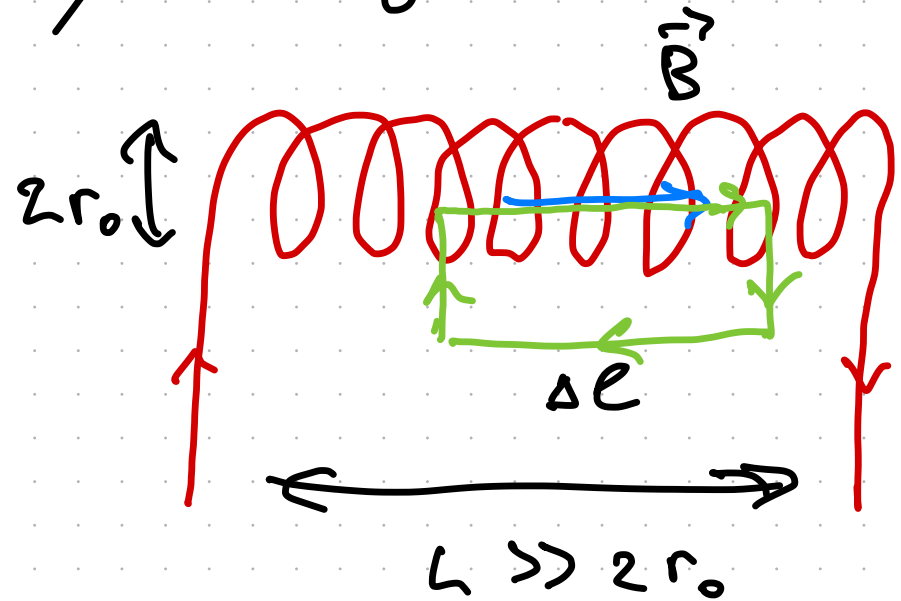
$$r < R;$$

$$2\pi r B = \frac{4\pi}{c} I \frac{r^2}{R^2};$$

$$\Rightarrow B = \frac{2}{c} \frac{r}{R^2} I;$$



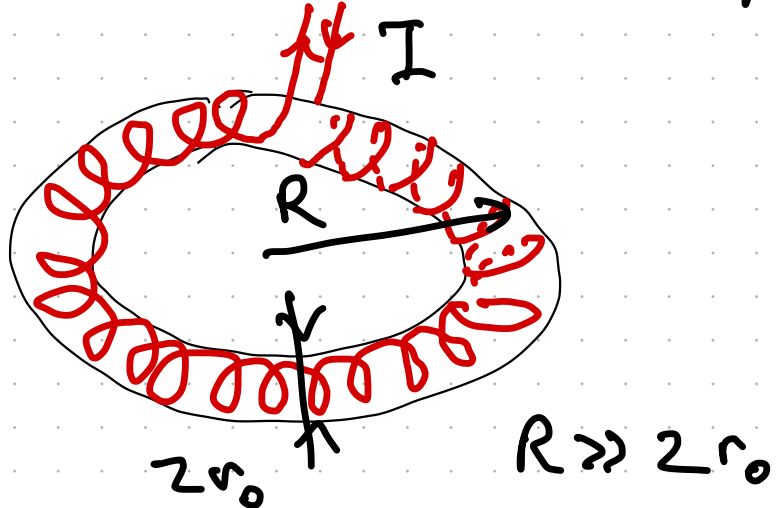
c) lange Spule



$$\cancel{\Delta e} B = \frac{4\pi}{c} n_w I \cancel{\Delta e}$$

$$B = \frac{4\pi}{c} n_w I;$$

d) Toroidale Spule:

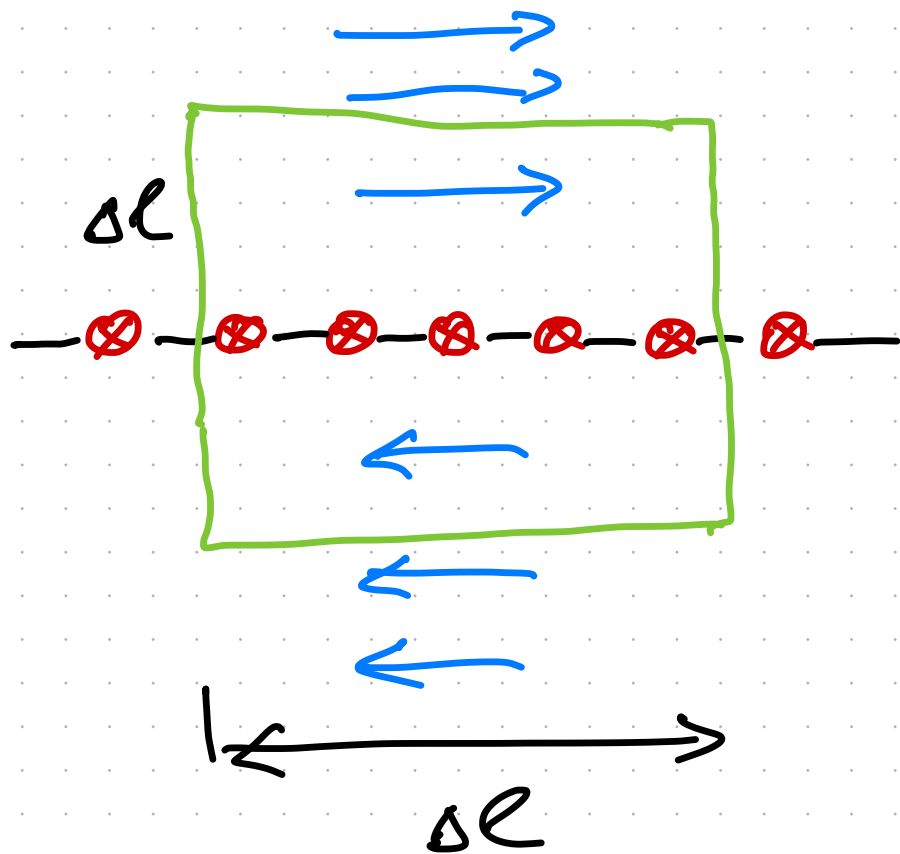


$n_w$ -Windungen pro 1 cm

$$\cancel{2\pi R} B = \frac{4\pi}{c} n_w I \cancel{2\pi R}$$

$$B = \frac{4\pi}{c} n_w I;$$

e) 2D Oberfläche mit homogene Stromverteilung



$i = I \text{ pro } 1 \text{ cm}$   
Stromdichte

$$B_{\Delta l} + B_{l \Delta l} = \frac{4\pi}{c} i \underbrace{\Delta l}_{I}$$

$$B = \frac{4\pi}{c} i = \frac{2\pi}{c} i;$$

Randbedingungen auf 2D Oberfläche:

①



$$B_{1n} = B_{2n}$$

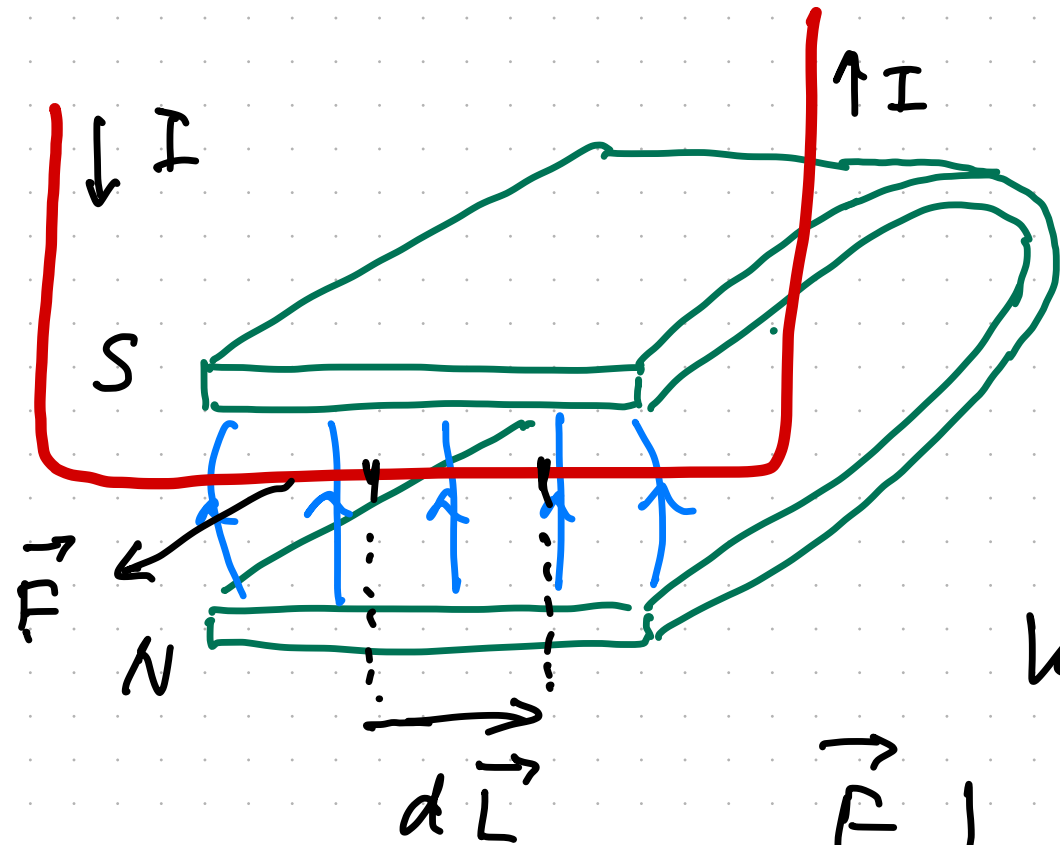
②



$$B_{1e} = B_{2e} = \frac{4\pi}{c} i$$

### 3.3 Lorentzsches Kraftgesetz

$$\vec{F}_L = \frac{q}{c} [\vec{\omega} \vec{B}] ; \leftarrow \text{Lorentzkraft [cgs]}$$

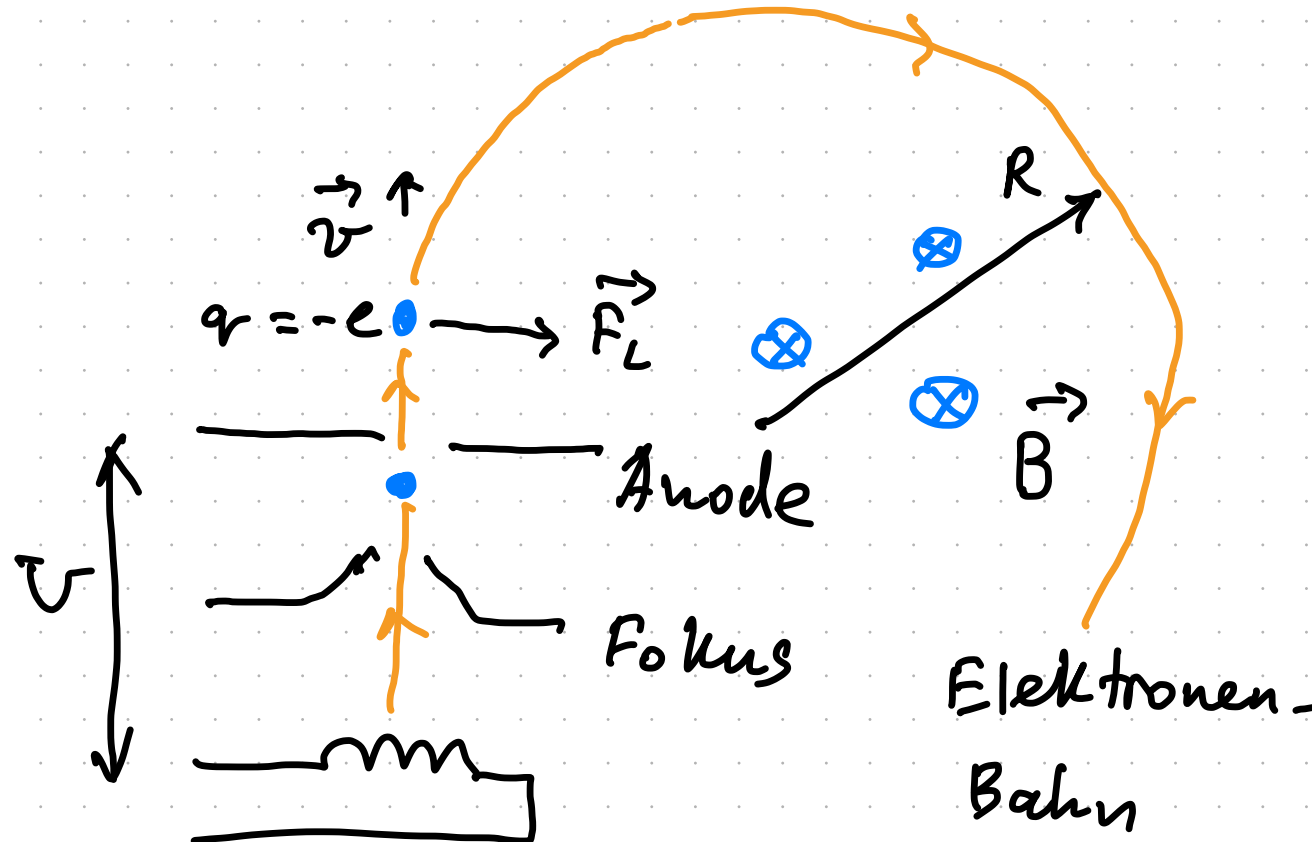


auf einen  
stromdurchflossenen  
Leiter im Magnet-  
feld  $\vec{B}$  wirkt die  
Kraft  $\vec{F}$  ;

$$\vec{F} \perp \vec{I} ; \quad \vec{F} \perp \vec{B} ;$$

[SI]:  $d\vec{F} = I \cdot [\vec{dL} \vec{B}] ;$

### 3.4. Zyklotronbewegung, Hall-Effekt



Elektronenstrahl  
in eine Kathoden-  
strahlröhre im  
Magnetfeld  $\vec{B}$ .

$$F_L = q [\vec{v} \vec{B}] ; \{SI\}$$

Glükkathode

Fadenstrahlrohr

Spannung  $\tilde{U}$ :

$$\frac{m v^2}{2} = e \tilde{U} ;$$

$$\Rightarrow v = \sqrt{\frac{2 e \tilde{U}}{m}} ;$$

Zentripetalkraft :

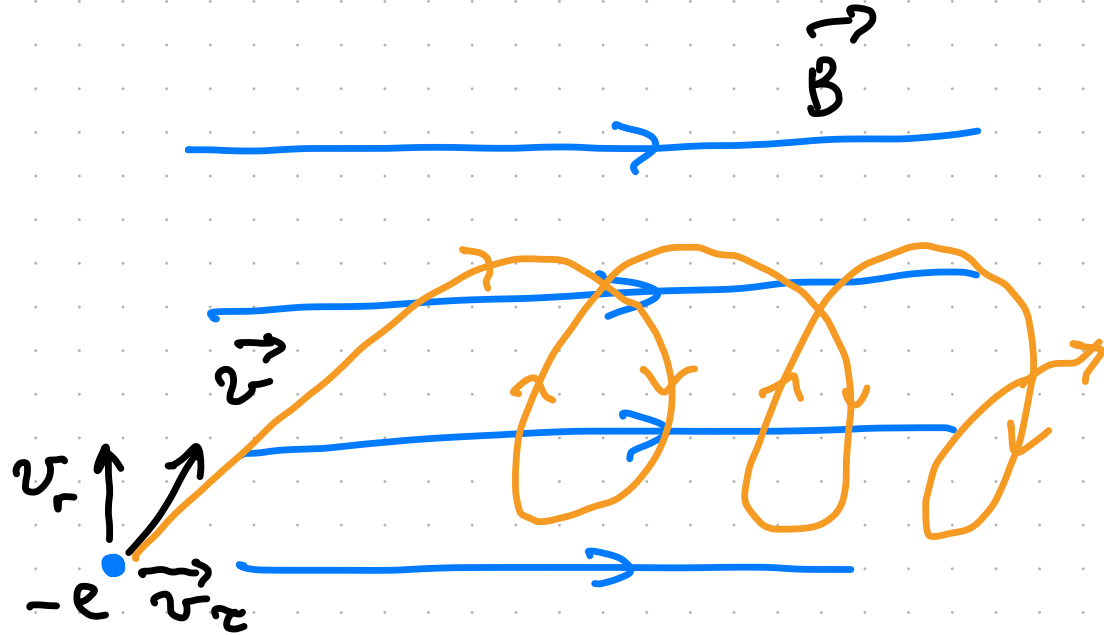
$$[SI] \Rightarrow e v B = \frac{m v^2}{R}; \Rightarrow R = \frac{1}{B} \sqrt{\frac{2 m v}{e}}$$

Zyklotronbewegung ;

$$f_z = \frac{e B}{2 \pi m}$$

← Zyklotronfrequenz

z.B. Protonen :  $B = 1 T \Rightarrow f_z \sim 15 \text{ MHz}$



Spurbahn von  
Elektronen ;  $v_z = \text{const}$

Fokussierung  $\Downarrow \Rightarrow$  Elektronen  
- Optik .